

## بررسی خواص الاستیک دی سولفید مولیبدن چند لایه تحت تنش عمودی فشاری

قبادی، نیره<sup>۱</sup>

<sup>۱</sup>گروه برق، دانشکده مهندسی، دانشگاه زنجان، زنجان

### چکیده

در این مقاله خواص الاستیک دی سولفید مولیبدن ( $MoS_2$ ) تحت تنش عمودی فشاری مورد بررسی قرار می‌گیرد. برای محاسبه منحنی تنش- کرنش این ساختار از شبیه‌سازی دینامیک مولکولی استفاده شده است. وابستگی منحنی تنش-کرنش و خواص الاستیک به تعداد لایه‌های  $MoS_2$ ، ترتیب پشته‌سازی لایه‌ها و دما مورد مطالعه قرار می‌گیرد. نتایج به دست آمده نشان می‌دهد که ثابت الاستیک عمودی، کرنش و تنش شکست به شدت وابسته به ترتیب پشته‌سازی لایه‌ها می‌باشند. همچنین با وجود اینکه افزایش دما موجب کاهش کرنش و تنش شکست می‌شود، افزایش تعداد لایه‌های  $MoS_2$  استحکام ساختار را بهبود می‌بخشد.

## Investigation of Elastic Properties of Multilayer Molybdenum Disulfide under Normal Compressive Stress

Ghobadi, Nayereh<sup>1</sup>

<sup>1</sup> Department of Electrical and Computer Engineering, University of Zanjan, Zanjan

### Abstract

*In this work the elastic properties of multilayer molybdenum disulfide ( $MoS_2$ ) under normal compressive stress is investigated. Molecular dynamic simulation is used to calculate the strain distribution and stress-strain relation of structures. The dependency of the stress-strain curve and elastic properties on the number of  $MoS_2$  layers, stacking order of layers and temperature are studied. The results reveal that the vertical elastic constants, yield strain and stress strongly depend on staking order of the  $MoS_2$  layers. Furthermore, it can be concluded from the results that while the rise in temperature results in the decrease of yield strain and stress, the increase in the number of  $MoS_2$  layers improve the stiffness of the structure.*

PACS No .6225.

### مقدمه

[۶]. ترانزیستورهای اثر میدانی و مدارات مجتمع بر پایه  $MoS_2$  با نسبت جریان روشن به خاموش و چگالی جریان روشن بسیار بالا با موفقیت ساخته شده‌اند [۶-۹]. علاوه بر خصوصیات بسیار خوب الکترونیکی،  $MoS_2$  خواص مکانیکی منحصر به فردی ارائه می‌کند که این ساختار را به ماده‌ای مهم در ساخت سیستم‌های نانومکانیکی تبدیل کرده است.  $MoS_2$  ماجول الاستیکی حدود ۰/۲ تراپاسکال و تنش شکست حدود ۱۰ گیگا پاسکال دارد.  $MoS_2$  در مقایسه با گرافین مقاومت بیشتری در برابر خم‌شدگی دارد و ماجول خمش حدود ۷ برابر گرافین دارد [۱۰]. تنش نقش مهمی در تغییر خصوصیات ترانزیستورهای بر پایه  $MoS_2$  ایفا می‌کند [۱۱]، بنابراین ما در این مقاله با انجام

دی سولفید مولیبدن ( $MoS_2$ ) ماده‌ای با ساختار کریستالی لانه زنبوری دوبعدی و همانند گرافین می‌باشد. در این ساختار یک لایه Mo بین دو لایه S قرار گرفته است و خصوصیات منحصر به فردی ارائه می‌دهد. برای مثال  $MoS_2$  بالک یک نیمه هادی با شکاف انرژی ۱/۲ الکترون ولت می‌باشد [۱] که شکاف انرژی آن می‌تواند با تغییر تعداد لایه‌ها [۲]، ترتیب پشته‌سازی لایه‌ها [۳] و یا با اعمال تنش تغییر کند [۴ و ۵].  $MoS_2$  تک لایه که می‌تواند با تکنیک تراشیدن ساخته شود نیز شکاف انرژی مستقیم برابر ۱/۸ الکترون ولت [۲] و قابلیت تحرک حامل‌های بالایی دارد و می‌تواند به خوبی در ساخت ترانزیستور مورد استفاده قرار گیرد

با اعمال تنش عمودی فشاری لایه‌ها جابه‌جا می‌شوند. با اندازه‌گیری تغییرات فاصله بین لایه‌های به صورت تابعی از فشار، مشخصه تنش- کرنش ساختار به دست می‌آید. کرنش برابر با  $\epsilon = (d_0 - d)/d_0$  خواهد بود که در این رابطه  $d_0$  فاصله بین لایه‌های در حالت تعادل و  $d$  فاصله بین لایه‌های بعد از اعمال تنش است. برای شبیه‌سازی خواص الاستیک ساختار شبیه‌سازی دینامیک مولکولی با استفاده از نرم افزار LAMMPS انجام شده است [۱۳]. برای برهم‌کنش‌های صفحه‌ای بین اتم‌های Mo و S در صفحه  $\text{MoS}_2$  پتانسیل استیلینگر-ویر (SW) استفاده شده است [۱۴]. این پتانسیل نسبت به پتانسیل‌های ترسلف و برنر ساده‌تر بوده و پارامترهای کمتری دارد. برهم‌کنش‌های بین لایه‌های اتم‌ها با استفاده از پتانسیل لنارد-جونز ۶-۱۲ (LJ12-6) مدل شده است. پارامترهای استفاده شده برای این پتانسیل در جدول ۲ آمده است [۱۵].

جدول ۲. پارامترهای پتانسیل لنارد-جونز ۶-۱۲ (LJ12-6) [۱۵]

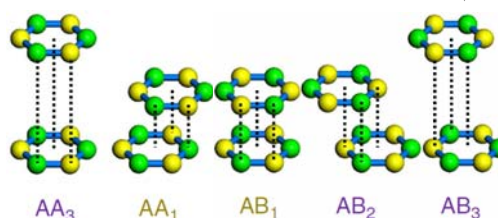
Mo-S	S-S	Mo-Mo	
۰/۰۰۲۸	۰/۰۲۰	۰/۰۰۰۵۸۵۹۵	$\epsilon(\text{eV})$
۳/۶۶۵	۳/۱۳	۴/۲۰	$\sigma(\text{\AA})$

اندازه سلول واحد  $\text{MoS}_2$  در جهت آرمچر  $5/4 \times 8 \times 8$  آنگستروم می‌باشد. سلول شبیه‌سازی شده شامل  $8 \times 8$  سلول واحد در صفحه  $xy$  می‌باشد. قطر سلول شبیه‌سازی شده  $5$  نانومتر می‌باشد که سبب می‌شود تاثیر اندازه سلول روی خواص مکانیکی به حداقل برسد [۱۶]. ارتفاع سلول شبیه‌سازی شده به تعداد لایه‌های  $\text{MoS}_2$  بستگی دارد. در دو جهت صفحه  $xy$  شرایط مرزی پریودیک در نظر گرفته شده است و برای جهت  $z$  از شرط مرزی ثابت استفاده شده است. شبیه‌سازی‌ها در دمای  $300$  درجه کلوین و با ترموستات Nose-Hoover انجام شده است [۱۷]. گام زمانی برابر  $1$  فمتو ثانیه در نظر گرفته شده است. انرژی سلول شبیه‌سازی ابتدا با روش کمینه‌سازی گرادینان انرژی کمینه شده است و سپس تنش عمودی فشاری اعمال شده است. برای اعمال تنش ابتدا دو صفحه  $\text{MoS}_2$  بالا و پایین در جهت عمودی ثابت شده‌اند در حالیکه امکان حرکت در صفحه  $xy$  را دارا می‌باشند. سپس لایه  $\text{MoS}_2$  بالا با سرعت ثابت در جهت پایین فشرده می‌شود که نتیجه آن کرنشی با نرخ برابر  $10^9$  بر ثانیه می‌باشد [۱۸].

شبیه‌سازی دینامیک مولکولی به بررسی خواص الاستیک  $\text{MoS}_2$  چند لایه تحت تنش عمودی فشاری می‌پردازیم و اثر تغییر تعداد لایه‌های  $\text{MoS}_2$ ، ترتیب پشته‌سازی لایه‌ها و دما را بررسی می‌کنیم. ادامه مقاله شامل روش شبیه‌سازی دینامیک مولکولی، مشخصه تنش-کرنش  $\text{MoS}_2$  و خواص الاستیک این ساختار می‌باشد.

## روش شبیه‌سازی

لایه‌ها در  $\text{MoS}_2$  چند لایه با ترتیب‌های پشته‌سازی مختلفی بر روی هم قرار گرفته‌اند که در شکل ۱ نشان داده شده است [۳].



شکل ۱.  $\text{MoS}_2$  دو لایه با ترتیب‌های پشته‌سازی مختلف. اتم Mo با دایره سبز و اتم S با دایره زرد مشخص شده است. ۲ اتم S که روی هم قرار گرفته‌اند با یک دایره مشخص شده‌اند [۳].

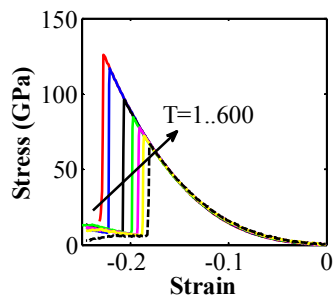
در ساختارهای  $AA_1$ ،  $AA_2$  (مشابه  $AA_1$  با تغییر مکان Mo و S) و  $AB_1$  اتم‌های S در لایه بالا روی اتم Mo از لایه پایین قرار گرفته‌اند. در ساختارهای  $AA_2$  و  $AB_2$  اتم‌های S روی مرکز حلقه شش گوشه قرار گرفته‌اند و بالاخره در  $AA_3$  و  $AB_3$  اتم‌های S روی هم قرار گرفته‌اند. در میان این ساختارها  $AA_1$  و  $AB_1$  کمترین انرژی را داشته و پایدارترند [۳]. طول پیوند Mo-S و S-S به ترتیب  $2/3764$  و  $3/11$  آنگستروم می‌باشند [۱۲]. فاصله بین لایه‌های در  $\text{MoS}_2$  چند لایه به صورت فاصله بین دو اتم Mo در دو لایه مجاور تعریف می‌شود و به شدت به ترتیب پشته‌سازی بستگی دارد و در جدول ۱ دیده می‌شود [۳]. ساختارهای  $AA_3$  و  $AB_3$  با بالاترین انرژی بزرگترین فاصله بین لایه‌های، و ساختارهای  $AA_1$  و  $AB_1$  با کمترین انرژی کوچکترین فاصله بین لایه این را دارند.

جدول ۱: فاصله بین لایه‌های در  $\text{MoS}_2$  چند لایه با ترتیب پشته‌سازی مختلف [۳]

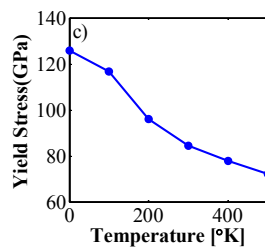
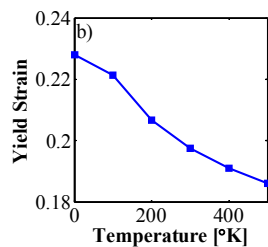
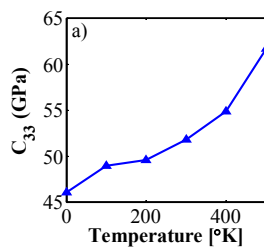
$AA_3$	$AB_2$	$AB_1$	$AA_3$	$AA_2$	$AA_1$	
$6/8$	$6/2$	$6/1$	$6/8$	$6/1$	$6/1$	فاصله بین لایه ای (Å)

می‌شود. در شکل ۳ تغییرات  $C_{33}$  و کرنش و تنش شکست با تغییر تعداد لایه‌های  $MoS_2$  دیده می‌شود. با تعداد لایه‌های بیشتر استحکام بیشتری دارد که این به دلیل تاثیر بیشتر برهم کنش وان در والس در این ساختارها می‌باشد.  $C_{33}$  به دست آمده برای این ساختار با مقدار به دست آمده در نتایج عملی یعنی ۵۲ گیگاپاسکال تطابق خوبی دارد [۱۹].

شکل‌های ۴ و ۵ مشخصه تنش-کرنش و خواص الاستیک ساختار  $AB_1$  با ۴ لایه  $MoS_2$  را در دماهای مختلف نشان می‌دهد. با افزایش دما نوسانات حرارتی اتم‌ها بیشتر می‌شود و بنابراین باعث کاهش کرنش و تنش شکست می‌شود [۱۲]



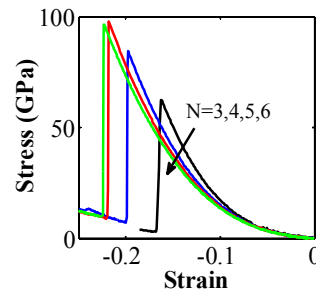
شکل ۴: مشخصه تنش-کرنش  $MoS_2$  ۴ لایه با ترتیب پشته سازی  $AB_1$  بر حسب دما



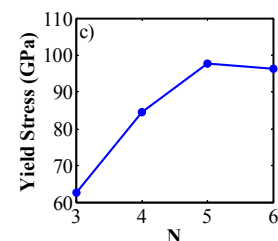
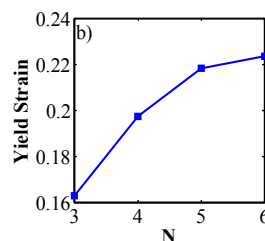
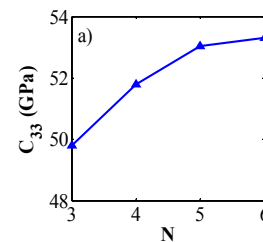
شکل ۵. تغییرات (الف) ثابت الاستیک  $C_{33}$ ، (ب) کرنش شکست و (ج) تنش شکست  $MoS_2$  ۴ لایه با ترتیب پشته سازی  $AB_1$  با تغییرات دما منحنی تنش-کرنش تحت تنش عمودی فشاری برای ترتیب‌های پشته‌سازی شکل ۱، در شکل ۶ دیده می‌شود. در ساختارهای  $AA_3$  و  $AB_3$  اتم‌های  $S$  لایه بالا روی اتم‌های  $S$  لایه پایین قرار

## نتایج و بحث

مشخصه تنش-کرنش عمودی  $MoS_2$  چند لایه با ترتیب پشته‌سازی  $AB_1$  و با تعداد لایه‌های مختلف در شکل ۲ نشان داده شده است. در ابتدا با افزایش کرنش، تنش به صورت خطی افزایش می‌یابد. سپس با افزایش بیشتر کرنش این افزایش غیر خطی شده و تقریباً سهموی می‌شود.



شکل ۲: مشخصه تنش-کرنش  $MoS_2$  چند لایه با ترتیب پشته سازی  $AB_1$  و تعداد لایه‌های مختلف تحت تنش عمودی فشاری.



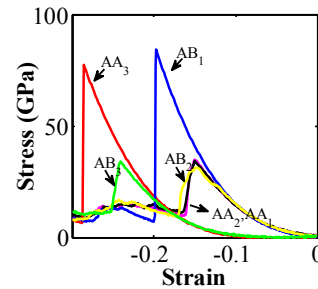
شکل ۳: تغییرات (الف) ثابت الاستیک  $C_{33}$ ، (ب) کرنش شکست و (ج) تنش شکست با تعداد لایه‌های  $MoS_2$  با ترتیب پشته سازی  $AB_1$

$C_{33}$  بیانگر استحکام ساختار در جهت عمودی می‌باشد. این پارامتر می‌تواند با استفاده از قانون هوک ( $\sigma = C_{33} \times \epsilon$ ) در کرنش‌های کوچک به دست آید. استفاده از مشخصه تنش-کرنش در کرنش‌های کوچک از این جهت حائز اهمیت است که بتوان اطمینان حاصل کرد که در منطقه خطی قرار داریم و قانون هوک صادق است. بیشینه کرنش و تنشی که ساختار قبل از شکست و تغییر شکل می‌تواند تحمل کند با کرنش و تنش شکست مشخص

## مرجع‌ها

- [1] K. K. Kam and B. A. Parkinson, "Detailed photocurrent spectroscopy of the semiconducting group VIB transition metal dichalcogenides," *J. Phys. Chem.*, vol. **86**, no. 4, (1982) 463-467.
- [2] K. F. Mak, C. Lee, J. Hone, J. Shan, and T. F. Heinz, "Atomically Thin MoS<sub>2</sub>: A New Direct-Gap Semiconductor," *Phys. Rev. Lett.*, vol. **105**, (2010) 136805.
- [3] Liu, Kaihui, et al. "Evolution of interlayer coupling in twisted molybdenum disulfide bilayers," *Nature communications*, vol. **5**, (2014) 4966.
- [4] P. Lu, X. Wu, W. Guo, and X. C. Zeng, "Strain-dependent electronic and magnetic properties of MoS<sub>2</sub> monolayer, bilayer, nanoribbons and nanotubes," *Phys. Chem. Chem. Phys.*, vol. **14**, no. 37, (2012) 13035-40.
- [5] S. Bhattacharyya and A. K. Singh, "Semiconductor-metal transition in semiconducting bilayer sheets of transition-metal dichalcogenides," *Phys. Rev. B*, vol. **86**, (2012) 075454.
- [6] B. Radisavljevic, A. Radenovic, J. Brivio, V. Giacometti, and A. Kis, "Single-layer MoS<sub>2</sub> transistors," *Nat. Nanotechnol.*, vol. **6**, (2011) 147-150.
- [7] L. Liu, S. Kumar, Y. Ouyang, and J. Guo, "Performance Limits of Monolayer Transition Metal Dichalcogenide Transistors," *IEEE Trans. Electron Devices*, vol. **58**, no. 9, (2011) 3042-3047.
- [8] Y. Yoon, K. Ganapathi, and S. Salahuddin, "How good can monolayer MoS<sub>2</sub> transistors be?," *Nano Lett.*, vol. **11**, no. 9, (2011) 3768-3773.
- [9] B. Radisavljevic, M. B. Whitwick, and A. Kis, "Integrated circuits and logic operations based on single-layer MoS<sub>2</sub>," *ACS nano*, vol. **5**, no. 12, (2011) 9934-9938.
- [10] J.-W. Jiang, Z. Qi, H. S. Park, and T. Rabczuk, "Elastic bending modulus of single-layer molybdenum disulfide (MoS<sub>2</sub>): finite thickness effect," *Nanotechnology*, vol. **24**, no. 43, (2013) 435705.
- [11] H. J. Conley, B. Wang, J. I. Ziegler, R. F. Haglund, S. T. Pantelides, and K. I. Bolotin, "Bandgap engineering of strained monolayer and bilayer MoS<sub>2</sub>," *Nano letters*, vol. **13**, no. 8, (2013) 3626-3630.
- [12] J. W. Jiang, and H. S. Park, "Mechanical properties of MoS<sub>2</sub>/graphene heterostructures," *Applied Physics Letters*, vol. **105**, no. 3, (2014) 033108.
- [13] S. Plimpton, "Fast parallel algorithms for short-range molecular dynamics," *Journal of Computational Physics*, vol. **117**, no. 1, (1995) 1-19.
- [14] J. W. Jiang, H. S. Park, and T. Rabczuk, "Molecular dynamics simulations of single-layer molybdenum disulfide (MoS<sub>2</sub>): Stillinger-Weber parametrization, mechanical properties, and thermal conductivity," *Journal of Applied Physics*, vol. **114**, no. 6, (2013) 064307.
- [15] T. Liang, S. R. Phillpot, and S. B. Sinnott, "Parametrization of a reactive many-body potential for Mo-S systems," *Phys. Rev. B*, vol. **79**, no. 24, (2009) 245110 (Erratum: *Phys. Rev. B*, vol. **85**, (2012) 199903).
- [16] H. Zhao, K. Min, and N. Aluru, "Size and chirality dependent elastic properties of graphene nanoribbons under uniaxial tension," *Nano Lett.*, vol. **9**, no. 8, (2009) 3012-3015.
- [17] W. G. Hoover, "Canonical dynamics: equilibrium phase-space distributions," *Phys. Rev. A*, vol. **31**, no. 3, (1985) 1695.
- [18] N. Ghobadi, and M. Pourfath. "Vertical Tunneling Graphene Heterostructure-Based Transistor for Pressure Sensing." *IEEE Electron Device Letters*, vol. **36**, no. 3, (2015) 280-282.
- [19] Y. Zhao, et al. "Interlayer breathing and shear modes in few-trilayer MoS<sub>2</sub> and WSe<sub>2</sub>," *Nano letters*, vol. **13**, no. 3, (2013) 1007-1015.

گرفته‌اند که منجر به نیروی دافعه شدید و فاصله بین لایه‌ای بزرگتر [۳] و در نتیجه کرنش شکست بزرگتر می‌شود. در ساختارهای AA<sub>1</sub>, AA<sub>2</sub> و AB<sub>2</sub> اتم‌های S لایه بالا روی مرکز حلقه شش گوشه لایه پایین قرار گرفته‌اند که باعث نیروی دافعه کمتر و در نتیجه کاهش کرنش شکست می‌شود. تنش و کرنش شکست برای ساختارهای مختلف پشته‌سازی در جدول ۳ دیده می‌شود.



شکل ۶: مشخصه تنش-کرنش MoS<sub>2</sub> لایه با ترتیب‌های پشته‌سازی مختلف

تحت تنش عمودی فشاری

جدول ۳: کرنش و تنش شکست MoS<sub>2</sub> لایه با ترتیب‌های پشته‌سازی

مختلف

AB <sub>3</sub>	AB <sub>2</sub>	AB <sub>1</sub>	AA <sub>3</sub>	AA <sub>2</sub>	AA <sub>1</sub>	
۰/۲۴۱	۰/۱۴۸۴	۰/۱۹۷۵	۰/۲۸۶۱	۰/۱۵	۰/۱۵	کرنش شکست
۳۴/۱۱	۳۱/۴۳	۸۴/۴۴	۷۷/۵۸	۳۴/۳۴	۳۴/۸۷	تنش شکست (GPa)

## نتیجه گیری

در این مقاله با استفاده از شبیه‌سازی دینامیک مولکولی اثر تعداد لایه‌ها، دما و ترتیب پشته‌سازی روی خواص الاستیک MoS<sub>2</sub> چند لایه تحت تنش عمودی فشاری مورد بررسی قرار گرفت. نتایج به دست آمده نشان داد که استحکام MoS<sub>2</sub> چند لایه با افزایش تعداد لایه‌ها افزایش و با افزایش دما کاهش می‌یابد. همچنین نیروی دافعه شدید بین اتم‌های S در ترتیب‌های پشته‌سازی AA<sub>3</sub> و AB<sub>3</sub> منجر به افزایش فاصله بین لایه‌ای و کرنش شکست در این ساختارها می‌شود. از تحقیق انجام شده این نتیجه به دست می‌آید که با تغییر دما، ترتیب پشته‌سازی و تعداد لایه‌های MoS<sub>2</sub> می‌توان خواص مکانیکی این ماده را به شدت تغییر داد.